

## Ch. 29 The Magnetic Field

Magnet (from an iron ore in Magnesia, Turkey)

Pierre de Maricourt (1269): Used magnetized needle to trace the “line of force” around a spherical lodestone and found magnetic poles.

William Gilbert (1600): Earth is a giant magnet; defined north seeking pole of a magnet.

Coulomb (1785):  $F_e \propto q_1 q_2 / r^2$ ,  $F_m \propto m_1 m_2 / r^2$  between magnetic poles.

Oersted (1820): 演講結束時發現電流  $I$  產生  $\vec{B}$  (他先前已知閃電使磁針振動); 磁鐵的  $\vec{B}$  對帶電流  $I$  的導線有作用力。

Biot and Savart (1820): 直導線產生  $B \propto I/r$  (曲導線  $d\vec{B} \propto Id\vec{\ell} \times \hat{r}/r^2$ )。

Ampere (1825): 導線在  $\vec{B}$  中受力  $d\vec{F} = Id\vec{\ell} \times \vec{B}$ 。

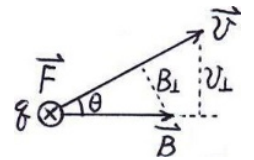
Faraday's induction (1831): 磁通量改變率  $d\phi_B/dt$  產生  $\vec{E}$ 。

Maxwell's induction (and Maxwell's eqs., 1864): 電通量改變率  $d\phi_E/dt$  產生  $\vec{B}$ 。

$\vec{B}$  的定義: 方向  $\hat{B} \equiv$  (磁針的指向); 強度  $|\vec{B}| \propto$  磁針在其中振動的頻率的平方。  
(註: 力矩  $I d^2\theta/dt^2 = \tau = -mB \sin\theta \Rightarrow \omega^2 = mB/I$ 。)

實驗發現: 當電荷  $q$  以速度  $\vec{v}$  在  $\vec{B}$  中運動時受力  $\vec{F} = q\vec{v} \times \vec{B}$ ，

即  $F = qvB \sin\theta = qvB_{\perp} = qv_{\perp}B$ 。



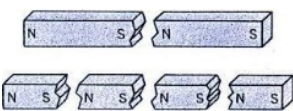
unit of  $\vec{B}$  in MKSC: 1 tesla (T)  $\equiv (1 \text{ N})/[(1 \text{ C})(1 \text{ m/s})] = 1 \text{ N/A} \cdot \text{m}$ 。

但常用 1 gauss (G)  $\equiv 10^{-4} \text{ T}$ 。

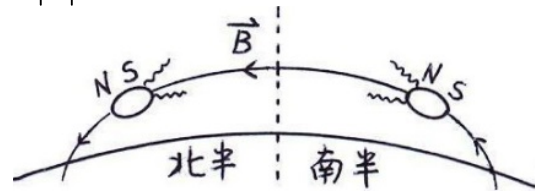
地磁  $\sim 1 \text{ G}$ ，磁鐵  $\sim 100 \text{ G}$ ，原子內  $\sim 10 \text{ T}$ ，實驗室最高  $30 \text{ T}$ ，中子星  $10^8 \text{ T}$ 。

$\therefore \vec{F} \perp \vec{v}$ ， $\therefore$  功率  $\vec{F} \cdot \vec{v} = 0$ ，磁力不作功， $|\vec{v}|$  不變。

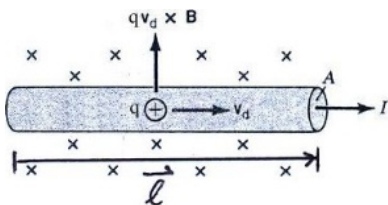
No magnetic  
monopole



淤泥中的  
細菌:



### Force on a current wire

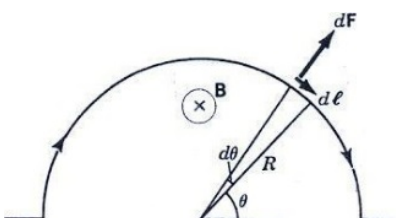


$\vec{F} = (nA\ell)(q\vec{v}_d \times \vec{B})$ ，但  $nq\vec{v}_d A\ell = (\vec{J}A)\ell = I\vec{\ell}$ ，

$\therefore \vec{F} = I\vec{\ell} \times \vec{B}$ 。(  $\Rightarrow \vec{F} = q\vec{v} \times \vec{B}$  historically. )

任何曲導線與磁場  $\vec{F} = \int d\vec{F} = \int I d\vec{\ell} \times \vec{B}$ 。

例:



$dF = Id\ell B = I(Rd\theta)B$ ，

$F_x = \int dF \cos\theta = IRB \int_0^\pi d\theta \cos\theta = IRB(\sin\pi - \sin 0) = 0$

$F_y = \int dF \sin\theta = IRB \int_0^\pi d\theta \sin\theta = IRB(-\cos\pi + \cos 0)$

$= I(2R)B$ ，與長  $2R$  的直線受力相同。

In fact, for any wire in an uniform  $\vec{B}$ ,  $\vec{F} = \int I d\vec{\ell} \times \vec{B} = I(\int d\vec{\ell}) \times \vec{B} = I(\vec{r}_f - \vec{r}_i) \times \vec{B}$ , same as for a straight wire, ind. of shape.

$\vec{F} = 0$  for a current loop,  $\because \vec{r}_f = \vec{r}_i$ . 鐵原子或電子都可看成是電流圈。把鐵塊放在均勻  $\vec{B}$  中不會受力，磁鐵能吸引鐵是因為它的  $\vec{B}$  不均勻。

**Torque on a current loop by uniform  $\vec{B}$**   
 $\sum \vec{F}_i = 0$ , but  $\sum \vec{\tau}_i \neq 0$ , ind. of origin.

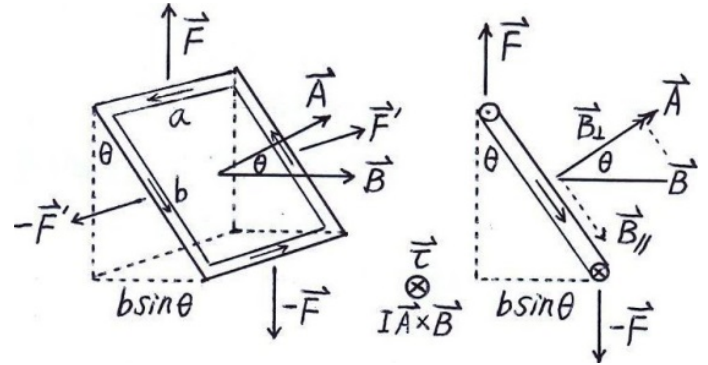
$$\tau = (IaB)b \sin \theta = IAB \sin \theta, \quad A \equiv ab.$$

定義 magnetic dipole  $\vec{\mu} \equiv I\vec{A}$

$$(\leftrightarrow \vec{p} \equiv q\vec{d}), \quad \text{則 } \tau = \mu B \sin \theta.$$

含方向： $\vec{\tau} = \vec{\mu} \times \vec{B}$  ( $\leftrightarrow \vec{\tau}_E = \vec{p} \times \vec{E}$ ).

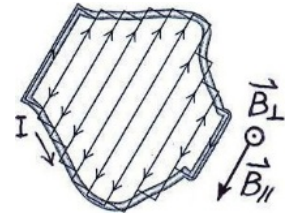
位能  $U = -\vec{\mu} \cdot \vec{B} = -\mu B \cos \theta$  ( $\leftrightarrow U_E = -\vec{p} \cdot \vec{E}$ ), 喜歡  $\vec{\mu} // \vec{B}$ .



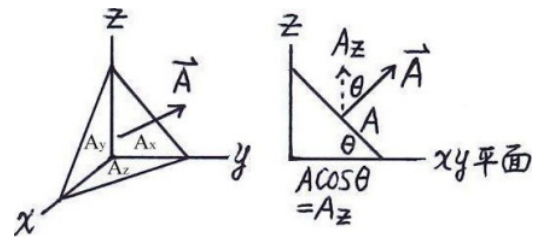
Planar loop of any shape (右圖):

$$\vec{\tau} = \sum \vec{\tau}_i = \sum \vec{\mu}_i \times \vec{B} = (\sum \vec{\mu}_i) \times \vec{B} = I(\sum \vec{a}_i) \times \vec{B} = I\vec{A} \times \vec{B}.$$

$\because$  曲面可由小平面組成， $\therefore$  上式也適用於任意曲面。



面積向量： $\int d\vec{A} = \vec{A} = (A_x, A_y, A_z)$   
 $= A$  在  $(yz, zx, xy)$  平面的投影。



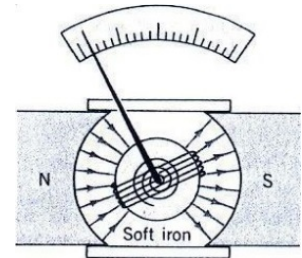
例：Galvanometer (d'Arsonval's)

Torque due to  $\vec{B}$ :  $\tau_B = \mu B \sin \theta = \mu B = (NIA)B$ .

( $\vec{B}$  radial,  $\vec{\mu} \perp \vec{B}$  always, 效果等同均勻  $\vec{B}$ )

Torque due to spring:  $\tau_s = \kappa \phi$ ,  $\phi$  = rotation angle.

$$\tau_B = \tau_s \Rightarrow NIAB = \kappa \phi \Rightarrow \phi = (NAB/\kappa)I.$$



## Motion of Charged Particles

(a) In uniform  $\vec{B}$ :  $F = qv_{\perp}B = mv_{\perp}^2/r$ , circular or helical.

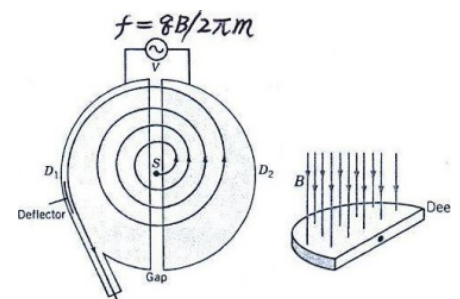
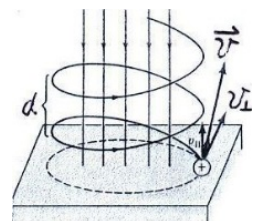
$$r = mv_{\perp}/qB, \quad \text{period } T = 2\pi r/v_{\perp} = 2\pi m/qB,$$

$$f = 1/T = qB/2\pi m, \quad \text{cyclotron freq., ind. of } r \text{ \& } v.$$

Cyclotron (右圖, E. Lawrence & M.S. Livingston,

1930 (hand size) and 1934 (27-inch)):

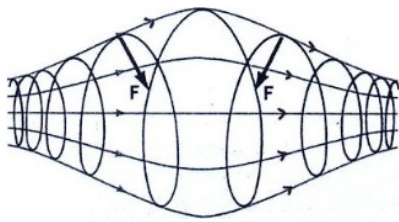
中空銅 D 內  $\vec{E} = 0$ ,  $q$  只在 gap 被加速。



但只適用於低速粒子 (  $p^+$  最高 25 Mev ) , 高速時需用 synchrocyclotron ( 用  $m = m_0 / \sqrt{1 - v^2/c^2}$  ) , 能量可達 200 Mev 。

現代 Synchrotron 則可達 1 TeV 以上。

(b) In non-uniform  $\vec{B}$  (e.g. **magnetic bottle** 左下圖)



應用例：核融合

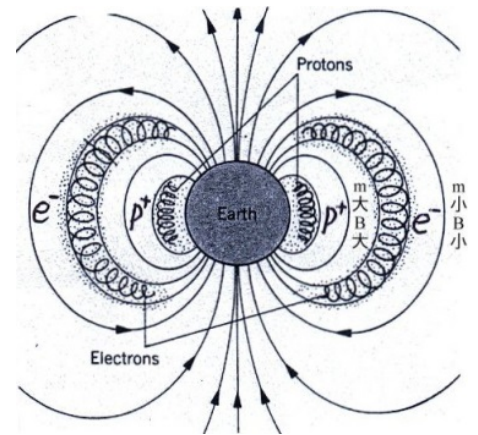
Van Allen (1958)

radiation belts:

$p^+$  離地面 3,000 km ;

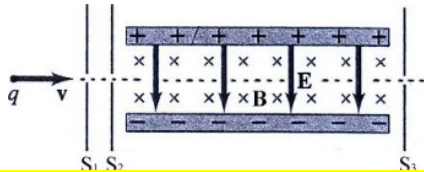
$e^-$  離地面 20,000 km 。

逃逸入大氣層造成極光。



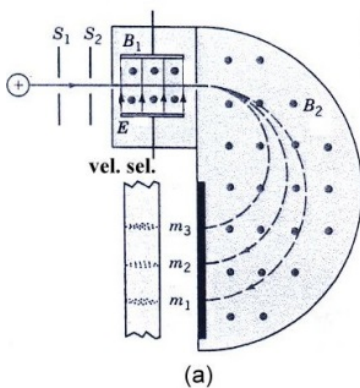
**Lorentz force**  $\vec{F} = q\vec{E} + q\vec{v} \times \vec{B}$  , 應用：

(a) **Velocity selector**

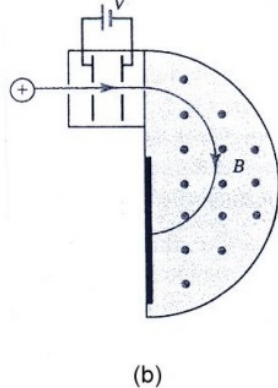


No deflection  $\vec{F}_E + \vec{F}_B = 0$  ,  
i.e.  $qE = qvB$  ,  $\therefore v = E/B$  .

(b) **Mass spectrometer (for isotope isolation)**



(a)



(b)

(a) Bainbridge's (  $v$  被選出 , 適合大樣本 )

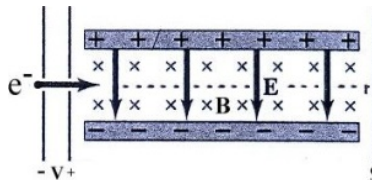
$$r = mv/qB_2 = m(E/B_1)/qB_2 \\ = mE/qB_1B_2 \Rightarrow m/q = (B_1B_2/E)r .$$

(b) Dempster's (  $v$  被選出 , 適合小樣本 )

$$mv^2/2 = qV \Rightarrow v = \sqrt{2qV/m} . \\ r = mv/qB = (m/qB)\sqrt{2qV/m} \\ = \sqrt{2mV/qB^2} \Rightarrow m/q = (B^2/2V)r^2 .$$

(c) 電子的  $e/m$  實驗 (  $m$  太小 ,  $r$  太小 , 不適合用質譜儀 )

現在的方法：以高壓造出  $v = \sqrt{2eV/m}$  ; 再調  $E$  &  $B$  使  $e^-$  走直線 , 使  $v = E/B$  。



$$\therefore \sqrt{2eV/m} = E/B , e/m = E^2/2VB^2 .$$

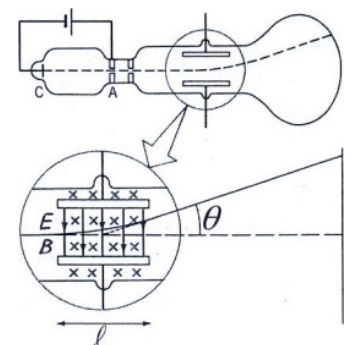
$$e/m = 1.75881962(\pm 53) \times 10^{11} \text{ C/kg} \quad (1990) .$$

$$e \text{ 由油滴實驗決定 , 得 } m = 9.1093897(\pm 54) \times 10^{-31} \text{ kg} .$$

Thomson 的方法 ( 右圖 ) : 根據偏轉角  $\theta$  量出  $v$  。

$$\text{先令 } B = 0 , \tan \theta = v_y/v_x = at/v = (eE/m)(\ell/v)/v \\ = eE\ell/mv^2 , \text{ 得 } v^2 = eE\ell/m \tan \theta .$$

$$\text{再調 } B \text{ 使走直線 , } v = E/B . \text{ 故 } e/m = E \tan \theta / B^2 \ell .$$





## Hall Effect (Oct. 1879)

Maxwell 的書上說：  $\vec{B}$  作用在導體上而非電流上，有無  $\vec{B}$  對電流分布無影響。

Hall 在 1877 年開始當 H. Rowland 的研究生。他懷疑上述說法，他想電流應被推到導線的一側而降低有效截面積使電阻增加，但他無法測得此效應。Rowland 早先已發現電線兩側間有微弱電壓，便建議 Hall 用金箔重作此實驗，而發現了 Hall effect。

$$\vec{v}_d = v_d \hat{x}, \quad \vec{B} = B \hat{y},$$

$$\vec{E}_H = E_H \hat{z}.$$

$I$  穩定時  $q$  走直線，

$\therefore \vec{v}_d$  ( &  $\vec{J}, \vec{E}$  ) 均勻。

$$(a) \quad F_z = qE_H + qv_d B = 0,$$

$$\therefore E_H = -v_d B \text{ 均勻}, \quad \therefore v_d = -E_H / B = V_H / wB.$$

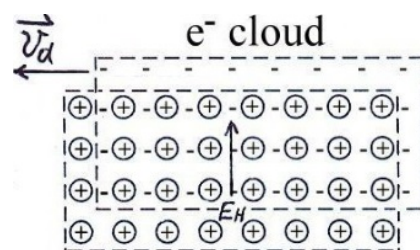
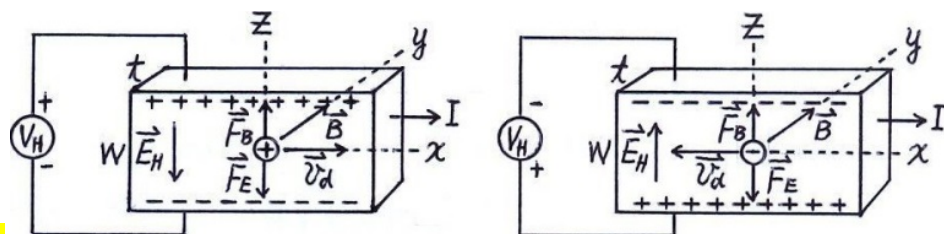
$$(b) \quad nq = J/v_d = J(-B/E_H) = (I/wt)(Bw/V_H) = IB/V_H t.$$

$\therefore$  量  $V_H$  可知  $v_d$  &  $nq$ ，若  $V_H > 0$ ，則  $q > 0$ 。

Most metals:  $e^-$ . Metals *Co, Zn, Pb, Fe* & semiconductors *Si, Ge*:  $h^+$  (hole).

Force on a wire:  $e^-$  cloud 受磁力向上而拉正離子，  
或說正離子受到向上  $\vec{E}_H$  的作用。

H.W.: Ex. 54; Prob. 1, 2, 4, 5, 6.



## Ch. 30 Sources of the Magnetic Field

Oersted described his work ( $I \Rightarrow \vec{B}$ ) to Paris Academy of Science in Sept. 1820.

Biot-Savart announced in Oct. 1820 that  $B \propto I/r$  for a long straight wire. (They measured the period of oscillation of a magnetized needle in  $\vec{B}$  field.)

### Force between parallel wires

$$F_{21} = I_2 L B_1 = I_2 L (\mu_0 I_1 / 2\pi D) = (\mu_0 / 2\pi) I_1 I_2 L / D.$$

$$\therefore \text{force per unit length } F/L = (\mu_0 / 2\pi) (I_1 I_2 / D).$$

**Definition of 1 A:** Let  $D = 1\text{ m}$  &  $L = 1\text{ m}$ ,

when  $I_1 = I_2 = 1\text{ A}$ ,  $F = 2 \times 10^{-7}\text{ N}$ .

$$2 \times 10^{-7}\text{ N} = (\mu_0 / 2\pi) (1\text{ A})^2 (1\text{ m}) / (1\text{ m}), \quad \therefore \mu_0 = 4\pi \times 10^{-7}\text{ N/A}^2 \text{ exact.}$$

(If  $D = 1\text{ cm}$ ,  $L = 1\text{ m}$ ,  $I_1 = I_2 = 1\text{ A}$ , then  $F = 2 \times 10^{-5}\text{ N} = 2\text{ dyne}$ .)

$1\text{ C} \equiv 1\text{ A} \cdot 1\text{ sec}$ , and the charge of electron was found to be  $1.6 \times 10^{-19}\text{ C}$ .

$1/4\pi \epsilon_0$  was measured to be  $9.0 \times 10^9\text{ N} \cdot \text{m}^2/\text{C}^2$ .

